

## (729) 大入熱溶接用 Ti-B 系鋼の HAZ 組織と韌性

Ti-B 系大入熱溶接用鋼の開発-②

新日本製鐵㈱

厚板条鋼研究センター ○山本 広一 松田 昭一

分析研究センター 小松 肇

大分技術研究室 川島 善樹果

八幡技術研究部 大野 恒秀

## 1. 緒言

既報のごとく<sup>1)</sup>、Ti-B複合添加鋼の大入熱HAZ韌性は、粒内フェライトの生成により従来鋼に較べて著しく改善される。本報では、Ti, Bフリー鋼との比較により、HAZ組織の特徴、粒内フェライト生成核の組成、韌性改善機構などの検討結果について述べる。

## 2. 実験方法

供試鋼の化学成分をTable 1に示す。主な実験項目を以下に記す。

- (1)溶接再現熱サイクル(ピーク温度1400°C, 800→500°C冷却時間160s)冷却途中焼入れによる $\gamma \rightarrow \alpha$ 変態の特徴把握。
- (2)微小領域電子線回折、EDAXなどによる粒内フェライト生成核の同定。
- (3)脆性破壊発生点の同定、有効結晶粒度測定。

## 3. 実験結果

(1)再現HAZ組織は、粒界アロトリオモルフ( $F_p$ )、粒界マッシュフェライト( $F_m$ )、フェライトサイドプレート( $F_s$ )、粒内フェライト(IFP)、上部ベイナイト(Bu)、ペーライト(P)、高炭素島状マルテンサイト( $M^*$ )などから構成されている。Ti-B鋼は、Ti, Bフリー鋼に較べて、① $F_p$ ,  $F_s$ が少ない、②IFPの発達が著しい、③P変態開始および終了温度が高く $M^*$ が少ない、などの特徴がある(Fig.1)。

(2)IFP生成核は、0.1~2.0 μmサイズの① $TiN+MnS+Fe_{23}(CB)_6$ (CB)<sub>6</sub>、② $TiN+MnS+Fe_3(CB)$ などの複合析出物である。析出物体積のかなりの割合を占めるMnS、最外殻の鉄の炭化物がIFPの生成に寄与しているものと考えられる(Fig.2)。

(3)脆性破壊は、 $F_p$ および $F_s$ からおむね発生する(厳密にはそれらの組織中に散在するP,  $M^*$ )。脆性亀裂発生点を含む破面単位( $d$ ;  $F_p+F_s$ のサイズに近い)が大きくなるほど韌性は低下する(Fig.3)。Bは、IFP変態の促進、 $F_p$ ,  $F_s$ ,  $M^*$ 変態の抑制などにより、HAZ韌性の改善に寄与する。

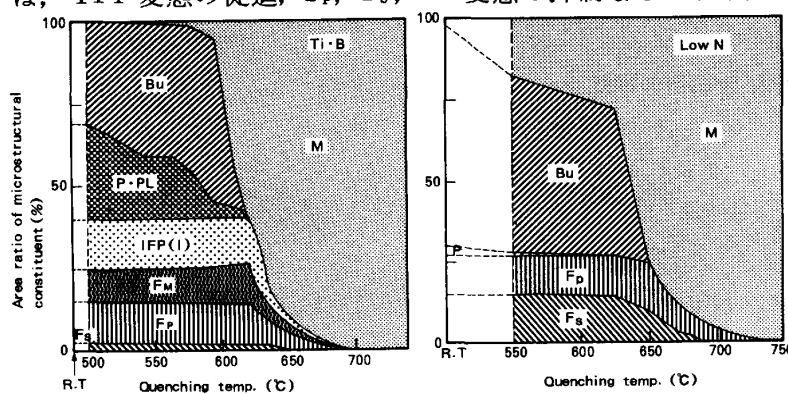
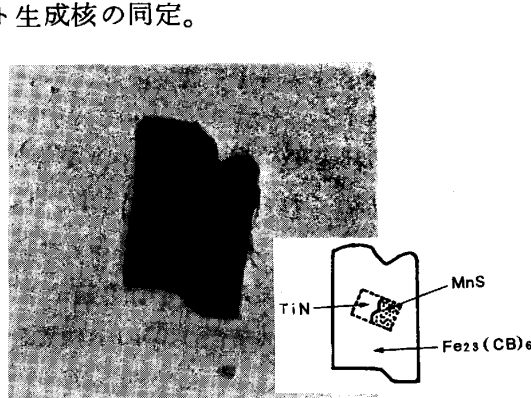
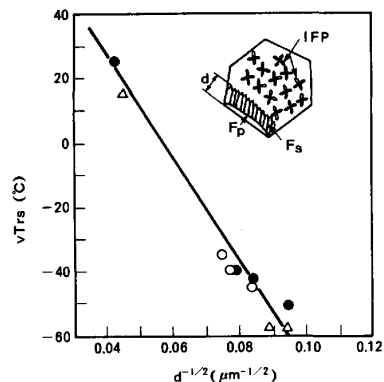


Fig.1 Diagram showing area ratio of microstructural constituents of Ti-B and low N steels

1) 鉄と鋼 68 (1982) S638

Fig.2 TiN-MnS- $Fe_{23}(CB)_6$  complex precipitate formed at 630°C on the way of coolingFig.3 Relation between  $\sqrt{Trs}$  and  $d^{-1/2}$